

## БИФУРКАЦИИ УДВОЕНИЯ ПЕРИОДА И ХАОС В МОДЕЛИ ТЕМПЕРАТУРНО-ЭЛЕКТРИЧЕСКОЙ НЕУСТОЙЧИВОСТИ В ПОЛУПРОВОДНИКЕ С ДВУМЯ УРОВНЯМИ ПРИЛИПАНИЯ

Голик Л. Л., Гутман М. М., Паксеев В. Е.

Проведено численное исследование модели температурно-электрической неустойчивости в полупроводнике с двумя уровнями прилипания. Получены сложные регулярные и неперидические решения и цепочка бифуркаций удвоения периода, приводящая к возникновению хаоса. Достигнуто хорошее качественное и количественное соответствие с результатами эксперимента.

В [1] сообщалось об экспериментальном обнаружении стохастических автоколебаний фототока ( $I_{\phi}$ ) и температуры ( $T$ ) в кристаллах CdS в условиях температурно-электрической неустойчивости (ТЭН). Переход от регулярных автоколебаний к хаотическим происходил по сценарию Фейгенбаума [2], а в пространстве параметров, соответствующем хаотическим колебаниям, существовали узкие области, в которых наблюдались сложные регулярные режимы. Для описания ТЭН в полупроводнике предложены две модели. Простейшая модель [3] представляет собой систему трех дифференциальных уравнений, определяющих динамику концентраций электронов в зоне проводимости ( $n$ ), на уровне прилипания ( $n_i$ ) и температуры кристалла ( $T$ ). Модель [4] включает в рассмотрение еще два типа локальных центров, описывающих температурное гашение фотопроводимости (ТГФ) в материалах  $A^{IV}B^{VI}$ . Численный анализ ТЭН с использованием модели [3], в которой ТГФ определялось путем введения зависимости времени жизни электронов  $\tau_r$  от  $T$  [5, 6], показал, что эта модель хорошо описывает большую часть экспериментально наблюдаемых одноканальных автоколебательных и триггерных режимов поведения  $I_{\phi}$  и  $T$  в CdS [7-9]. Попытки получить на основе данной модели решения в виде сложных регулярных и хаотических автоколебаний успеха не имели.

В [10] было высказано предположение, что одной из причин, усложняющих характер автоколебаний  $I_{\phi}$  и  $T$  в полупроводнике в условиях ТЭН, является наличие нескольких уровней прилипания, что отмечалось в экспериментальных работах по исследованию ТЭН в CdS [7, 8, 10]. Численное исследование модели ТЭН, подобной приведенной в [3] для полупроводника с двумя уровнями прилипания, показало [10], что для выбранной зависимости  $\tau_r(T)$  при некоторых значениях параметров имеют место неперидические решения. Однако в отличие от эксперимента [1], во-первых, интервалы значений изменяемого параметра (напряженности электрического поля), внутри которых существовали эти решения, были очень малы ( $\Delta E \approx 10^{-4} E$ ), во-вторых, переход от регулярных режимов к стохастическим был жестким. Поскольку сценарий возникновения стохастических автоколебаний является одной из важнейших характеристик модели, описывающей хаос, вопрос о возможности определения экспериментально наблюдаемой стохастической динамики ТЭН в CdS с помощью модели [10] остался открытым.

Для выяснения возможности описания экспериментальных результатов [1] с помощью модели с двумя уровнями прилипания нами был проведен более тщательный по сравнению с [10] анализ данной модели. Применялась методика анализа периодических решений с целью определения возможности существо-

вания бифуркаций удвоения периода [11], что позволило более целенаправленно вести поиск. Кроме того, исследования проводились в более широкой области значений величин параметров модели. Результаты исследований, представленные в данной работе, показывают, что в модели ТЭН в полупроводнике с двумя типами уровней прилипания возможно существование сложных регулярных и неперiodических решений, а также цепочки бифуркаций удвоения периода, приводящей к возникновению хаоса.

По аналогии с [3] модель ТЭН в полупроводнике с двумя типами уровней прилипания можно записать следующим образом:

$$\frac{dn}{dt} = L - \frac{n}{\tau_r} - \sum_{i=1, 2} \frac{dn_{ti}}{dt}, \quad (1)$$

$$\frac{dn_{ti}}{dt} = \gamma_i n (N_{ti} - n_{ti}) - \gamma_i n_{ti} N_{cti}, \quad (i = 1, 2), \quad (2)$$

$$\frac{dT}{dt} = Cn - \frac{1}{\tau_0} (T - T_0), \quad (3)$$

где  $\gamma_i$  — вероятность захвата электрона ловушкой  $i$ -го типа,  $N_{cti} = N_c \times \exp(-E_i/kT)$ ,  $N_c$  — эффективная плотность состояний в зоне проводимости,  $E_i$  — энергия ионизации ловушки,  $N_{ti}$  — концентрация ловушек,  $L$  — количество электронов, возбуждаемых светом в единице объема в единицу времени,  $C = e\mu E^2 / \rho c_V$ ,  $\mu$  — подвижность электрона,  $E$  — приложенное электрическое поле,  $c_V$  и  $\rho$  — теплоемкость и плотность фотопроводника,  $T_0$  — температура окружающей среды,  $\tau_0$  — параметр, характеризующий остывание кристалла. Темновой концентрацией электронов в зоне проводимости и на уровнях прилипания, а также разогревом образца вследствие рекомбинации электронов пренебрегаем. Аналогично [5] система (1)–(3) может быть записана в виде

$$\varepsilon_1 \frac{d\bar{n}}{d\tau} = 1 - \bar{n} + \sum_{i=1, 2} \varepsilon_{2i} \left\{ \frac{\bar{n}_{ti}}{1 + \beta_i} \exp \left[ \alpha_i \varepsilon_T \left( 1 - \frac{1}{\bar{T}} \right) \right] - \bar{n} \left( 1 - \frac{\beta_i}{1 + \beta_i} \bar{n}_{ti} \right) \right\}, \quad (4)$$

$$\varepsilon_{3i} \frac{d\bar{n}_{ti}}{d\tau} = n (1 + \beta_i - \beta_i \bar{n}_{ti}) - \bar{n}_{ti} \exp \left[ \alpha_i \varepsilon_T \left( 1 - \frac{1}{\bar{T}} \right) \right], \quad (i = 1, 2), \quad (5)$$

$$\varepsilon_4 \frac{d\bar{T}}{d\tau} = n (1 - \varepsilon_T) - \bar{T} + \varepsilon_T, \quad (6)$$

где  $\tau = t/\tau_{B1}$ ,  $\bar{n} = n/n_s$ ,  $\bar{T} = T/T_s$ ,  $\bar{n}_{ti} = n_{ti}/n_{tis}$ ,

$$n_s = L\tau_r, \quad n_{tis} = \frac{n_s N_{ti}}{n_s + N_{cti}(T_s)}, \quad T_s = T_0 \left( 1 + \frac{Cn_s \tau_0}{T_0} \right)$$

— стационарные решения системы (1)–(3),  $\varepsilon_1 = \tau_r/\tau_{B1}(T_s)$ ,  $\varepsilon_{2i} = \tau_r/\tau_{ti}$ ,  $\varepsilon_{3i} = \tau_{B1}(T_s)/\tau_{ti}$ ,  $\varepsilon_4 = \tau_0/\tau_{B1}(T_s)$ ,  $\varepsilon_T = T_0/T_s$ ,  $\alpha_i = E_i/kT_0$ ,  $\beta_i = \varepsilon_{3i} [L\tau_{B1}(T_s)/N_{ti}]$ ,  $\tau_{ti} = 1/\gamma_i N_{ti}$ ,  $\tau_{B1} = 1/\gamma_i N_{cti}$  — параметры с размерностью времени, характеризующие соответственно захват электронов на ловушки и выброс их из ловушек в зону проводимости.

В системе (4)–(6) могут быть выделены подсистемы быстрых и медленных движений. Поскольку  $\varepsilon_1 \ll 1$ ,  $\varepsilon_{3i}$  и  $\varepsilon_4 \gg 1$ , а члены в правых частях уравнений порядка единицы, уравнение (4) системы описывает быстрые движения, а (5)–(6) — медленные. Поэтому систему (4)–(6) можно редуцировать до трех уравнений [12], а из (4), опустив производную, получить решение

$$\bar{n} = \frac{\frac{\tau_r(T)}{\tau_r(T_s)} + \sum_{i=1, 2} \frac{\varepsilon_{2i}(T)}{1 + \beta_i} \bar{n}_{ti} \exp \left[ \alpha_i \varepsilon_T \left( 1 - \frac{1}{\bar{T}} \right) \right]}{1 + \sum_{i=1, 2} \varepsilon_{2i}(T) \left( 1 + \frac{\beta_i}{1 + \beta_i} \bar{n}_{ti} \right)}. \quad (7)$$

При всех возможных фиксированных  $\bar{n}_{i1}$ ,  $\bar{n}_{i2}$  и  $\bar{T}$  решение  $\bar{n} = f(\bar{n}_{ti}, \bar{T})$  является устойчивым положением равновесия быстрой системы. Физический смысл операции редуцирования следующий. Согласно [13], при отклонении от рав-

повесия величина  $n$  за время порядка  $\tau_{ii}$  или  $\tau_r$  (в зависимости от соотношения  $\tau_r/\tau_{ii}$ ) возвращается к квазиравновесному значению, определяемому заполнением ловушек. Возвращение к равновесному значению величин  $n_{ii}$  при отклонении их от равновесия происходит за времена освобождения и заполнения ловушек ( $\tau_r \frac{\tau_{Bi}}{\tau_{ii}}$  или  $\tau_{Bi}$ ), значительно большие, чем  $\tau_{ii}$ ,  $\tau_r$ . Редуцированная система не описывает быстрые изменения переменных на временах  $\tau_r$ ,  $\tau_{ii}$ , однако, так как характерные времена экспериментально наблюдаемых автоколебаний тока в CdS в условиях ТЭН в зависимости от параметров соответствуют  $1-10^3$  с, редуцированная система должна правильно описывать эти процессы.

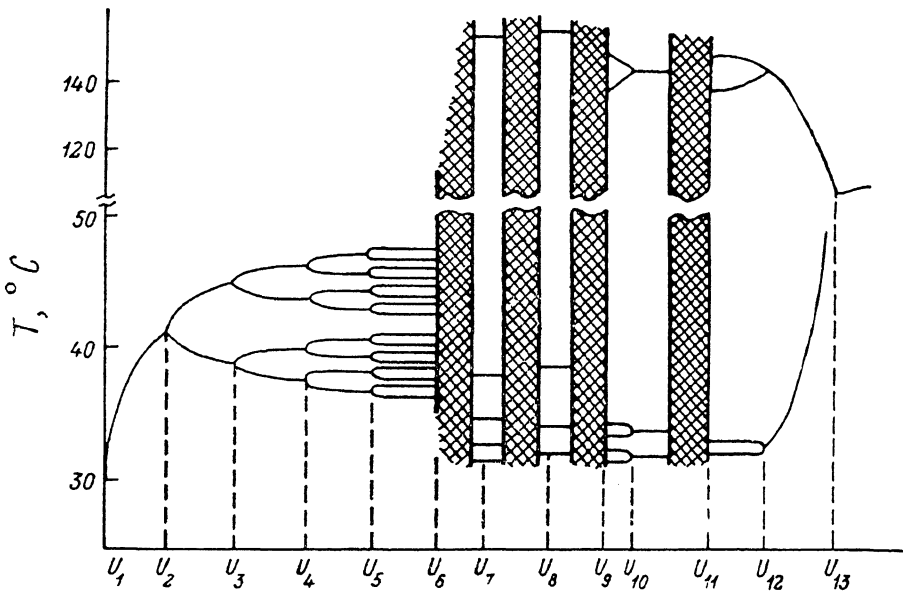


Рис. 1. Бифуркационная диаграмма, показывающая зависимость величин локальных максимумов колебаний температуры от величины приложенного напряжения.

$U_1=1168.615$ ,  $U_2=1180.369$ ,  $U_3=1181.135$ ,  $U_4=1181.307$ ,  $U_5=1181.334$ ,  $U_6=1181.339$ ,  $U_7=1183.478$ ,  $U_8=1186.681$ ,  $U_9=1194.31$ ,  $U_{10}=1194.314$ ,  $U_{11}=1206.595$ ,  $U_{12}=1206.742$ ,  $U_{13}=1244.322$  В. Параметры:  $T_0=283$  К,  $N_{t1}=8 \cdot 10^{18}$ ,  $N_{t2}=3.5 \cdot 10^{14}$  см $^{-3}$ ,  $E_1=5000$ ,  $E_2=6000$  К,  $\gamma_1=1.79 \cdot 10^{-13}$ ,  $\gamma_2=7 \cdot 10^{-13}$  см $^2$ /с,  $\mu=100$  см $^2$ /В $\cdot$ с,  $\rho=5$  г/см $^3$ ,  $c_p=0.2$  Дж/г $\cdot$ К,  $\tau_p=1$  с,  $L=2 \cdot 10^{13}$  см $^{-3} \cdot$  с $^{-1}$ ,  $T_N=25$ ,  $T_Q=330$  К,  $\tau_{r0}=4.5 \cdot 10^{-4}$ ,  $\tau_{rm}=0$  с.

Численно исследовалась система уравнений (5)–(7). Вычисление траекторий в фазовом пространстве проводилось методом Рунге–Кутты 4-го порядка, а анализ периодических решений на неустойчивость — путем нахождения значений мультипликаторов, вычисленных методом Данилевского [11]. Значения параметров исследуемой системы выбирались согласно данным экспериментальных работ по стохастической динамике ТЭН в CdS [1, 9] и исследований уровней прилипания в CdS [7, 14]. Функция  $\tau_r(T)$  в общем случае, как и в [10], аппроксимировалась выражением

$$\tau_r(T) = \tau_{r0} \frac{1}{\exp\left(\frac{T-T_Q}{T_N}\right) + 1} - \tau_{rm} \exp\left[-\frac{(T-T_M)^2}{2\sigma^2}\right], \quad (8)$$

где первый член описывает явление ТГФ, а второй — локальный максимум на температурной зависимости фотопроводимости перед началом ТГФ, который наблюдается на зависимостях  $I_\phi(T)$  кристаллов CdS, демонстрирующих ТЭН (см., например, [7]). Величины  $\tau_{r0}$ ,  $\tau_{rm}$ ,  $T_Q$ ,  $T_N$ ,  $T_M$  и  $\sigma$  характеризуют конкретный вид функции  $\tau_r(T)$ . Согласно [10], наличие второго члена в  $\tau_r(T)$  являлось необходимым условием получения неперiodических решений. В данной работе анализ проводился для случаев с  $\tau_{rm}$ , равным нулю и отличным от нуля.

Результаты показывают, что при выборе соответствующих параметров стохастические режимы возможны и при отсутствии в (8) второго члена.

В результате проведенных исследований найдено, что модель имеет решения в виде сложных регулярных и стохастических автоколебаний, причем переход

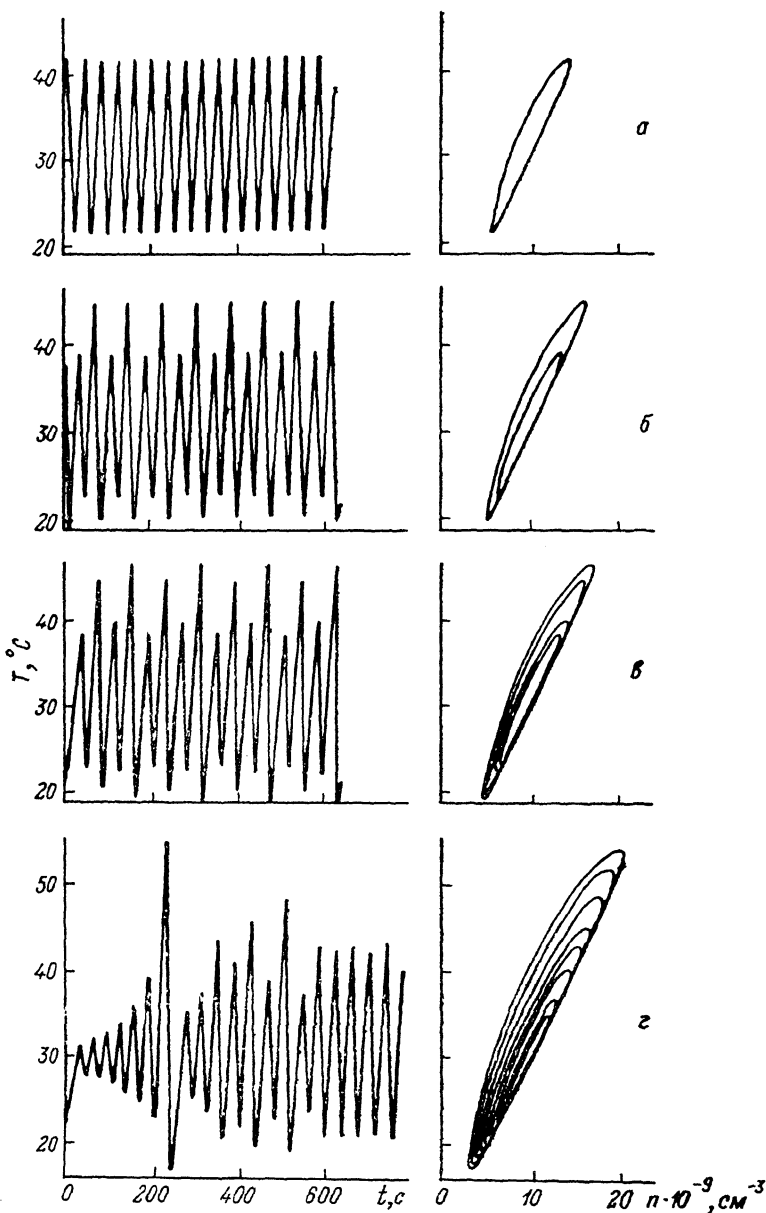


Рис. 2. Временные реализации  $T(t)$  и проекции фазовых портретов на плоскость  $(n, T)$  ряда режимов бифуркационной диаграммы (рис. 1).

U, B: а — 1180.12, б — 1181.05, в — 1181.3, г — 1181.61.

от регулярных однотоковых колебаний к стохастическим при изменении параметра  $E$  происходит через бифуркации удвоения периода колебаний при движении в область хаоса со стороны как больших, так и малых значений  $E$ .

На рис. 1 представлена одна из последовательностей динамических режимов, полученная при изменении  $E$  и фиксированных значениях остальных параметров. На оси ординат отложены значения температуры кристалла в максимумах колебаний. Для удобства сравнения полученных решений с результатами эксперимента ([1]; рис. 1, 2) на оси абсцисс указаны значения напря-

жения, падающего на кристалле, при расстоянии между электродами 1 мм. На рис. 2 показаны временные реализации  $T(t)$  и фазовые портреты на плоскости  $n-T$  ряда режимов последовательности (рис. 1), соответствующие переходу от регулярных одноктных автоколебаний к хаотическим при возрастании величины  $U$ . Внутри области хаоса найдены малые интервалы значений  $U$  ( $\Delta U \sim 1B$ ), соответствующие регулярным пяти-, четырех-, шести-, трехтактным автоколебаниям. Возможно существование и других «окон» периодических режимов в области хаоса, однако их поиск связан с большими затратами машинного времени. С ростом  $U$  наблюдаются рост амплитуд колебаний и изменение их формы от квазигармонической к релаксационной. Сравнение вышеописанных результатов с результатами эксперимента [1] свидетельствует о достижении хорошего качественного и количественного их совпадения.

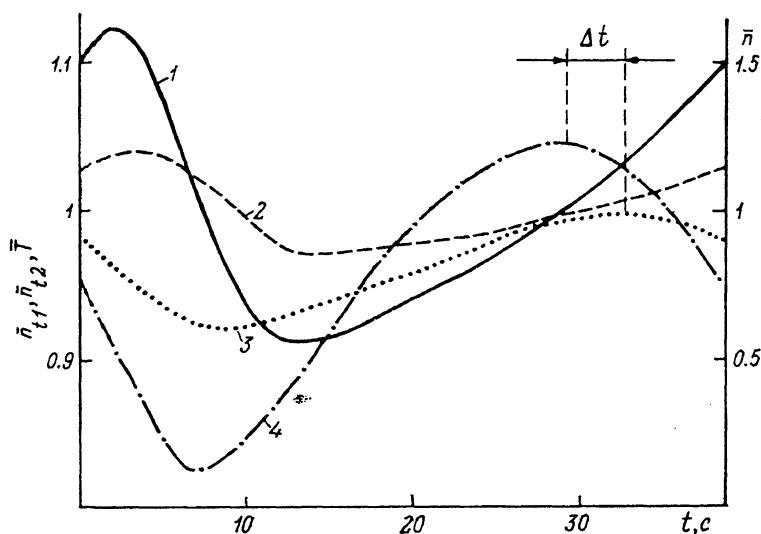


Рис. 3. Зависимость исследуемых переменных от времени на протяжении одного периода одноктного колебания вблизи бифуркации удвоения периода.

1 —  $\bar{n}$  ( $n_s = 8.882 \cdot 10^9 \text{ см}^{-3}$ ), 2 —  $T$  ( $T_s = 302.799 \text{ К}$ ), 3 —  $\bar{n}_{t2}$  ( $n_{t2s} = 2.246 \cdot 10^{14} \text{ см}^{-3}$ ), 4 —  $\bar{n}_{t1}$  ( $n_{t1s} = 4.945 \times 10^{14} \text{ см}^{-3}$ );  $U = 1180.36 \text{ В}$ .

Проведено исследование зависимости характера получаемых решений от параметра  $\tau_{t2}$  ( $\gamma_2$ ) второго ( $N_{t2}$ ) уровня, показавшее, что возникновение бифуркаций удвоения периода и существование относительно широкой области стохастических решений имеют место для случаев, когда  $\tau_{t2} \geq \tau_r(T_s) > \tau_{t1}$ . Так, варьирование параметра  $\tau_{t2}$  в диапазоне  $7 \cdot 10^{-7} - 10^{-5}$  с при сохранении величин остальных параметров равными значениям, указанным в подписи к рис. 1, показало, что при движении по параметру  $U$  с шагом 1 В (в области  $U = 1 - 2 \text{ кВ}$ ) непериодические решения не наблюдались, а имел место постепенный переход от одноктных квазигармонических колебаний малой амплитуды к одноктным колебаниям большой амплитуды и релаксационной формы. При  $\tau_{t2} = 2 \cdot 10^{-4}$  с возникает узкая область ( $\Delta U \sim 1 \text{ В}$ ) непериодических решений, которая расширяется при дальнейшем росте  $\tau_{t2}$ .

Согласно [3, 4], возникновение ТЭН в полупроводнике связано с заполнением возбужденными фотоэлектронами уровней прилипания и последующим лавинообразным выбросом этих электронов в зону проводимости за счет джоулева разогрева. Возникновение автоколебаний в модели с используемыми в работе параметрами ловушек связано с лавинообразным возбуждением электронов с уровня  $N_{t1}$ . Наличие второго уровня ( $N_{t2}$ ) с иными по отношению к  $N_{t1}$  характеристиками ( $N_{t2}$ ,  $E_2$ ,  $\gamma_r$ ) приводит к включению в процесс развития неустойчивости перезарядки уровня  $N_{t2}$  и изменению процессов перезарядки уровня  $N_{t1}$ . Пример временных зависимостей  $n_{t1}$ ,  $n$ ,  $T$  на протяжении одного периода одноктных колебаний показан на рис. 3. Для  $U$ , близких к поро-

вым значениям возникновения неустойчивости, изменения  $n_{i2}$  связаны с изменениями  $T$ , вызываемыми лавинным опустошением  $N_{i1}$ , и колебания  $n_{i1}$  и  $n_{i2}$  почти синфазны. При дальнейшем росте  $U$  увеличиваются выброс электронов из второй ловушки и вклад их в разогрев образца, причем вследствие выбранных соотношений характерных времен ловушек величина  $n_{i2}$  в максимуме ( $n_{i2 \max}$ ) уменьшается и возникает задержка ( $\Delta t$ ) достижения  $n_{i2 \max}$  относительно  $n_{i1 \max}$ ,  $\Delta t$  увеличивается с ростом  $U$ . Такое протекание процессов приводит к тому, что на протяжении интервала  $\Delta t$  (рис. 3) уровни  $N_{i2}$  захватывают на себя часть носителей, выброшенных из  $N_{i1}$ , и тормозят развитие лавны, однако в следующем интервале выброс носителей из  $N_{i2}$  дополнительно способствует ее развитию. Изменение соотношения положительного и отрицательного вкладов ловушки  $N_{i2}$  в развитие лавины и джоулев разогрев приводят к тому, что при  $U \geq U_2$  (рис. 1) режим однократных автоколебаний становится неустойчивым. Согласно проведенным исследованиям, возникает режим двухкратных автоколебаний (рис. 2, б), период которых вдвое превышает период однократных. При дальнейшем увеличении  $U$  (при  $U \geq U_3$ ) этот режим тоже теряет устойчивость и возникает режим четырехкратных автоколебаний (рис. 2, в) и т. д.

Таким образом, в полупроводнике с двумя уровнями прилипания в условиях ТЭН возникают особенности перезарядки уровней, вызывающие усложнение характера автоколебаний, приводящее к бифуркациям удвоения периода и динамическому хаосу.

Авторы благодарны А. И. Хибнику за предоставленные программы.

#### Список литературы

- [1] Голик Л. Л., Паксеев В. Е., Елинсон М. И., Якушин В. К. // ФТП. 1986. Т. 20. В. 11. С. 2084—2091.
- [2] Фейгенбаум М. // УФН. 1983. Т. 141. В. 2. С. 343—374.
- [3] Винецкий В. Л. // ФТТ. 1969. Т. 11. В. 5. С. 1402—1404.
- [4] Калашников С. Г., Падо Г. С., Пустовойт В. И., Токарев Е. Ф. // ФТП. 1969. Т. 3. В. 7. С. 1028—1035.
- [5] Балкарей Ю. И., Ржанов Ю. А., Голик Л. Л., Елинсон М. И. // ФТП. 1982. Т. 16. В. 9. С. 1558—1565.
- [6] Ржанов Ю. А., Балкарей Ю. И., Голик Л. Л., Елинсон М. И. // ФТП. 1983. Т. 17. В. 9. С. 1545—1548.
- [7] Винецкий В. Л., Шаховцова С. И. // Препринт ИФ АН УССР. Киев, 1973.
- [8] Голик Л. Л., Паксеев В. Е., Балкарей Ю. И., Елинсон М. И., Ржанов Ю. А., Якушин В. К. // ФТП. 1984. Т. 18. В. 3. С. 502—507.
- [9] Паксеев В. Е., Голик Л. Л., Елинсон М. И., Якушин В. К. // ФТП. 1986. Т. 20. В. 5. С. 853—858.
- [10] Балкарей Ю. И., Голик Л. Л., Паксеев В. Е., Ржанов Ю. А., Лоскутов В. С., Елинсон М. И. // ФТП. 1987. Т. 21. В. 8. С. 1369—1378.
- [11] Хибник А. И. // Матер. по математическому обеспечению ЭВМ. Пушино, 1979. № 5.
- [12] Романовский Ю. М., Степанова Н. В., Чернавский Д. С. Математическая биофизика. М., 1984. 304 с.
- [13] Рыбкин С. М. Фотоэлектрические явления в полупроводниках. М., 1963. 494 с.
- [14] Вертопрахов В. Н., Сальман Е. Г. Термостимулированные токи в неорганических веществах. Новосибирск, 1979. 331 с.

Институт радиотехники и электроники  
АН СССР  
Фрязинская часть

Получена 12.12.1989  
Принята к печати 17.03.1990